

УДК 539.3

## РЕШЕНИЕ ЗАДАЧИ ЛИНЕЙНОЙ ВЯЗКОУПРУГОСТИ ДЛЯ МНОГОСВЯЗНЫХ АНИЗОТРОПНЫХ ПЛИТ

С. А. Калоеров, А. И. Занько

Донецкий национальный университет, 83001 Донецк, Украина

E-mails: kaloerov@mail.ru, all5370@rambler.ru

Предложен метод решения задач линейной вязкоупругости для тонких плит, находящихся под действием изгибающих моментов и поперечных сил. Методом малого параметра исходная задача сведена к последовательности краевых задач, решаемых с использованием комплексных потенциалов теории изгиба многосвязных анизотропных плит. Получены общие представления комплексных потенциалов и краевые условия для их определения. С использованием замены степеней малого параметра операторами Работнова разработан метод определения напряженного состояния плиты в любой момент времени по комплексным потенциалам приближений. Решена задача о плите с эллиптическими отверстиями. Приведены результаты численных исследований в случае плиты с одним или двумя отверстиями. Исследовано изменение изгибающих моментов во времени вплоть до достижения стационарного состояния, а также влияние геометрических характеристик плиты на значения этих величин.

**Ключевые слова:** вязкоупругость, многосвязная плита, комплексные потенциалы теории изгиба плит, метод малого параметра, обобщенный метод наименьших квадратов.

DOI: 10.15372/PMTF20170215

Напряжения, возникающие в вязкоупругом теле при различных внешних воздействиях, со временем изменяются, что необходимо учитывать при расчете конструкций на прочность и долговечность, особенно в тех случаях, когда напряжения изначально достигают предельных значений. Несмотря на важность проблемы, исследований в этом направлении выполнено очень мало. Основы теории вязкоупругости разработаны достаточно давно [1–7], однако к настоящему времени получено небольшое количество решений прикладных задач. Ранее проводились исследования только плоских задач теории упругости для односвязных изотропных [6] и анизотропных [8] пластин. Для решения плоских задач и задач изгиба многосвязных изотропных пластин разработан метод малого параметра [9, 10]. В [11] предложен метод решения плоских задач вязкоупругости для анизотропных пластин с произвольным количеством отверстий и включений различной формы. Этот метод основан на сведении исходной задачи методом малого параметра к последовательности задач теории упругости и определении значений всех величин с использованием расшифровки степеней малого параметра операторами Работнова. С помощью данного метода решен ряд плоских задач теории упругости и термоупругости [11]. Позднее этот метод был распространен на решение связанных задач электровязкоупругости и электромагнитовязкоупругости [12] при наличии механических и электромагнитных полей. Следует

отметить, что исследования задач теории изгиба тонких анизотропных плит до сих пор не выполнялись.

В данной работе метод малого параметра, созданный для решения задач вязкоупругости [11], обобщен на случай многосвязных анизотропных плит. Получены численные решения некоторых частных задач.

**1. Постановка задачи.** Рассмотрим тонкую вязкоупругую анизотропную плиту, срединная плоскость которой занимает многосвязную область  $S$ , ограниченную внешним контуром  $L_0$  и контурами отверстий  $L_l$  ( $l = \overline{1, L}$ ). Не нарушая общности постановки задачи, будем считать, что контуры  $L_l$  нагружены распределенными изгибающими моментами, причем их главные моменты для каждого контура равны нулю. Будем рассматривать бесконечную многосвязную плиту, для которой контур  $L_0$  полностью уходит в бесконечность. В последнем случае будем считать, что на бесконечности заданы моменты  $M_x^\infty$ ,  $M_y^\infty$ ,  $H_{xy}^\infty$ .

Решение задачи без учета вязкоупругих свойств материала при использовании комплексных потенциалов теории изгиба плит сводится к определению функций  $W'_k(z_k)$  из граничных условий [13, 14]

$$2 \operatorname{Re} \sum_{k=1}^2 g_{kli} W'_k(z_k) = f_{li}(t) \quad (i = \overline{1, 2}), \quad (1.1)$$

где

$$g_{kl1} = p_k/\mu_k, \quad g_{kl2} = q_k, \quad (1.2)$$

$$f_{l1} = - \int_0^y m_l dy - c_l x + c_{1l}, \quad f_{l2} = - \int_0^x m_l dx + c_l y + c_{2l};$$

$$p_k = D_{11} + 2D_{16}\mu_k + D_{12}\mu_k^2, \quad q_k = D_{12} + 2D_{26}\mu_k + D_{22}\mu_k^2, \quad (1.3)$$

$D_{ij} = B_{ij}D_0$  — жесткости материала,

$$B_{11} = \frac{a_{22}a_{66} - a_{26}^2}{\Delta}, \quad B_{12} = \frac{a_{16}a_{26} - a_{12}a_{66}}{\Delta}, \quad B_{16} = \frac{a_{12}a_{26} - a_{16}a_{22}}{\Delta},$$

$$B_{22} = \frac{a_{11}a_{66} - a_{16}^2}{\Delta}, \quad B_{26} = \frac{a_{12}a_{16} - a_{26}a_{11}}{\Delta}, \quad B_{66} = \frac{a_{11}a_{22} - a_{12}^2}{\Delta}, \quad (1.4)$$

$$\Delta = \begin{vmatrix} a_{11} & a_{12} & a_{16} \\ a_{12} & a_{22} & a_{26} \\ a_{16} & a_{26} & a_{66} \end{vmatrix},$$

$a_{ij}$  — коэффициенты деформаций материала;  $D_0 = 2h^3/3$ ;  $h$  — полутолщина плиты;  $\mu_k$  — корни характеристического уравнения

$$D_{22}\mu^4 + 4D_{26}\mu^3 + 2(D_{12} + 2D_{66})\mu^2 + 4D_{16}\mu + D_{11} = 0, \quad (1.5)$$

$c_l$  — вещественные постоянные.

Функции  $W'_k(z_k)$  голоморфны в многосвязных областях  $S_k$ , получаемых из заданной области  $S$  аффинными преобразованиями [13, 14]:

$$z_k = x + \mu_k y \quad (1.6)$$

и ограниченных контурами  $L_{kl}$ , соответствующими  $L_l$ , при этих преобразованиях.

Если плита занимает многосвязную область  $S$ , то выражения для комплексных потенциалов  $W'_k(z_k)$  имеют вид [13]

$$W'_k(z_k) = \Gamma_k z_k + W'_{0k}(z_k), \quad (1.7)$$

где  $\Gamma_k$  — постоянные, в случае конечной области равные нулю, а в случае бесконечной области определяемые из системы уравнений

$$2 \operatorname{Re} \sum_{k=1}^2 \Gamma_k = A_{11} M_x^\infty + A_{21} M_y^\infty + A_{31} H_{xy}^\infty, \quad 2 \operatorname{Re} \sum_{k=1}^2 \mu_k \Gamma_k = A_{12} M_x^\infty + A_{22} M_y^\infty + A_{32} H_{xy}^\infty, \quad (1.8)$$

$$2 \operatorname{Re} \sum_{k=1}^2 \mu_k^2 \Gamma_k = A_{13} M_x^\infty + A_{23} M_y^\infty + A_{33} H_{xy}^\infty, \quad 2 \operatorname{Re} \sum_{k=1}^2 \frac{1}{\mu_k} \Gamma_k = 0;$$

$$A_{11} = \frac{2D_{22}D_{66} - 2D_{26}^2}{\Delta_1}, \quad A_{21} = \frac{2D_{16}D_{26} - 2D_{12}D_{66}}{\Delta_1}, \quad A_{31} = \frac{2D_{12}D_{26} - 2D_{16}D_{22}}{\Delta_1},$$

$$A_{12} = \frac{D_{12}D_{26} - D_{16}D_{22}}{\Delta_1}, \quad A_{22} = \frac{D_{12}D_{16} - D_{11}D_{26}}{\Delta_1}, \quad A_{32} = \frac{D_{11}D_{22} - D_{12}^2}{\Delta_1}, \quad (1.9)$$

$$A_{13} = \frac{2D_{16}D_{26} - 2D_{12}D_{66}}{\Delta_1}, \quad A_{23} = \frac{2D_{11}D_{66} - 2D_{16}^2}{\Delta_1}, \quad A_{33} = \frac{2D_{12}D_{16} - 2D_{11}D_{26}}{\Delta_1},$$

$$\Delta_1 = \begin{vmatrix} D_{11} & 2D_{16} & D_{12} \\ D_{12} & 2D_{26} & D_{22} \\ D_{16} & 2D_{66} & D_{26} \end{vmatrix},$$

$W'_{0k}(z_k)$  — функции, голоморфные в многосвязных областях  $S_k$ .

Определив функции  $W'_k(z_k)$ , основные характеристики изгиба плиты (прогиб, моменты, перерезывающие силы) можно вычислить по формулам

$$w = 2 \operatorname{Re} \sum_{k=1}^2 W_k(z_k), \quad (M_x, M_y, H_{xy}) = -2 \operatorname{Re} \sum_{k=1}^2 (p_k, q_k, r_k) W''_k(z_k),$$

$$(N_x, N_y) = -2 \operatorname{Re} \sum_{k=1}^2 (\mu_k s_k, -s_k) W'''_k(z_k),$$

где

$$r_k = D_{16} + 2D_{66}\mu_k + D_{26}\mu_k^2, \quad s_k = -D_{16} - (D_{12} + 2D_{66})\mu_k - 3D_{26}\mu_k^2 - D_{22}\mu_k^3. \quad (1.10)$$

**2. Решение задачи вязкоупругости.** Если плита обладает вязкоупругими свойствами, то для вычисления значений исследуемых величин, зависящих от времени, можно использовать принцип Вольтерры [7], т. е. заменить упругие постоянные временными операторами и определить действие этих операторов во времени. Однако это возможно при решении простейших задач, когда выражения этих величин, полученные в соответствии с упругим решением, представляются в виде произведений рациональных функций упругих постоянных и функций координат. Для многосвязных областей такие решения задач теории упругости получить невозможно, поэтому непосредственное применение принципа Вольтерры при анализе напряженно-деформированного состояния многосвязных тел вызывает затруднения. Таким образом, возникает необходимость получать решения, содержащие упругие постоянные в явном виде, и для многосвязных сред. Данные задачи можно решить, выделив одну из упругих постоянных, модуль которой меньше единицы, и разложив решение задачи в ряд по ней как по малому параметру.

Для ортотропного материала коэффициенты деформаций выражаются через технические постоянные следующим образом:

$$a_{11} = \frac{1}{E_1}, \quad a_{22} = \frac{1}{E_2}, \quad a_{12} = -\frac{\nu_{21}}{E_1} = -\frac{\nu_{12}}{E_2}, \quad a_{66} = \frac{1}{G_3}.$$

Здесь  $E_i$ ,  $G_3$ ,  $\nu_{ji}$  — модуль Юнга, модуль сдвига и коэффициенты Пуассона соответственно. Среди технических постоянных для различных анизотропных материалов меньше единицы только коэффициенты Пуассона  $\nu_{ij}$ . Поэтому в качестве малого параметра, по которому следует разлагать решение задачи, можно выбрать любой из этих коэффициентов, например  $\nu_{12}$ . Однако получаемые решения будут сходиться быстрее, если в качестве малого параметра выбрать не коэффициент  $\nu_{12}$ , а его изменение  $\lambda$  с течением времени, т. е. представить  $\nu_{12}$  в виде

$$\nu_{12} = \nu_{12}^0 + \lambda, \quad (2.1)$$

где  $\nu_{12}^0$  — мгновенно-упругое значение коэффициента  $\nu_{12}$ .

С учетом равенства (2.1) находим

$$a_{12} = a_{12}^0 - \lambda a_{11}, \quad (2.2)$$

где  $a_{12}^0 = -\nu_{12}^0 a_{11}$ . Подставляя (2.2) в формулу для  $\Delta$  в (1.4), получаем

$$\Delta = -a_{66} a_{11}^2 (\lambda - \lambda_1)(\lambda - \lambda_2), \quad \lambda_{1,2} = \frac{a_{12}^0 \mp \sqrt{a_{11} a_{22}}}{a_{11}}.$$

Разлагая величину, обратную  $\Delta_1$ , на простейшие дроби, находим

$$\frac{1}{\Delta} = \frac{1}{-a_{66} a_{11}^2 (\lambda_2 - \lambda_1)} \left( \frac{1}{\lambda_1 - \lambda} - \frac{1}{\lambda_2 - \lambda} \right).$$

Подставляя эти значения в (1.4), имеем

$$B_{11} = -\frac{a_{22}}{a_{11}^2 (\lambda - \lambda_1)(\lambda - \lambda_2)}, \quad B_{22} = -\frac{a_{11}}{a_{11}^2 (\lambda - \lambda_1)(\lambda - \lambda_2)},$$

$$B_{12} = -\frac{a_{11} \lambda - a_{12}^0}{a_{11}^2 (\lambda - \lambda_1)(\lambda - \lambda_2)}, \quad B_{66} = \frac{1}{a_{66}}, \quad B_{16} = B_{26} = 0.$$

Разлагая правые части полученных выражений на простейшие дроби, находим

$$B_{11} = -\frac{a_{22}}{a_{11}^2 (\lambda_2 - \lambda_1)} \left( \frac{1}{\lambda_1 - \lambda} - \frac{1}{\lambda_2 - \lambda} \right), \quad B_{22} = -\frac{a_{11}}{a_{11}^2 (\lambda_2 - \lambda_1)} \left( \frac{1}{\lambda_1 - \lambda} - \frac{1}{\lambda_2 - \lambda} \right),$$

$$B_{12} = -\frac{a_{11} \lambda - a_{12}^0}{a_{11}^2 (\lambda_2 - \lambda_1)} \left( \frac{1}{\lambda_1 - \lambda} - \frac{1}{\lambda_2 - \lambda} \right).$$

Для реальных материалов  $|\lambda/\lambda_1| < 1$ ,  $|\lambda/\lambda_2| < 1$ . В этом случае приведенные выше дроби, рассматриваемые как суммы бесконечно убывающих геометрических прогрессий, можно представить в виде рядов. В результате получаем

$$B_{11} = B_{11}^0 \sum_{j=0}^{\infty} d_{j1} \lambda^j, \quad B_{22} = B_{22}^0 \sum_{j=0}^{\infty} d_{j2} \lambda^j, \quad (2.3)$$

$$B_{12} = B_{12}^0 \sum_{j=0}^{\infty} d_{j2} \lambda^j, \quad B_{66} = \frac{1}{a_{66}}, \quad B_{16} = B_{26} = 0,$$

где

$$B_{11}^0 = \frac{a_{22}}{a_{11}^2 (\lambda_2 - \lambda_1)}, \quad B_{22}^0 = \frac{1}{a_{11} (\lambda_2 - \lambda_1)}, \quad B_{12}^0 = \frac{\sqrt{a_{11} a_{22}}}{a_{11}^2 (\lambda_2 - \lambda_1)},$$

$$d_{j1} = \lambda_2^{-j-1} - \lambda_1^{-j-1}, \quad d_{j2} = \lambda_1^{-j-1} + \lambda_2^{-j-1}.$$

При выводе формулы для  $B_{12}^0$  учтено, что

$$B_{12} = \frac{\sqrt{a_{11}a_{22}}}{a_{11}^2(\lambda_2 - \lambda_1)} \sum_{j=0} (\lambda_1^{-j-1} + \lambda_2^{-j-1}) \lambda^j.$$

С учетом выражений (2.3) формулы (1.3), (1.10) запишем в виде

$$p_k = \sum_{j=0} p_{jk} \lambda^j, \quad q_k = \sum_{j=0} q_{jk} \lambda^j, \quad s_k = \sum_{j=0} s_{jk} \lambda^j, \quad r_k = 2D_0 B_{66} \mu_k.$$

Здесь

$$p_{jk} = D_0(B_{11}^0 d_{j1} + B_{12}^0 \mu_k^2 d_{j2}), \quad q_{jk} = D_0(B_{12}^0 d_{j2} + B_{22}^0 \mu_k^2 d_{j1}), \\ s_{jk} = -D_0(B_{12}^0 d_{j2} + B_{22}^0 \mu_k^3 d_{j1} + 2B_{66} \mu_k \delta_j^0).$$

В ряды по малому параметру  $\lambda$  разложим также входящие в выражения для комплексных потенциалов (1.7) постоянные  $\Gamma_k$ :

$$\Gamma_k = \sum_{j=0} \lambda^j \Gamma_{jk}. \quad (2.4)$$

Постоянные  $\Gamma_{jk}$  найдем с использованием равенств (1.8), (1.9), подставляя в их правые части выражения (2.4). Выполнив эту подстановку и приравняв в полученных равенствах коэффициенты при одинаковых степенях малого параметра  $\lambda$ , получаем следующие последовательности систем четырех уравнений с четырьмя неизвестными:

$$2 \operatorname{Re} \sum_{k=1}^2 \left(1, \mu_k, \mu_k^2, \frac{1}{\mu_k}\right) \Gamma_{0k} = \left(-\frac{a_{11} M_x^\infty}{D_0} - \frac{a_{12}^0 M_y^\infty}{D_0}, -\frac{a_{66} H_{xy}^\infty}{2D_0}, -\frac{a_{12}^0 M_x^\infty}{D_0} - \frac{a_{22} M_y^\infty}{D_0}, 0\right), \\ 2 \operatorname{Re} \sum_{k=1}^2 \left(1, \mu_k, \mu_k^2, \frac{1}{\mu_k}\right) \Gamma_{1k} = \left(\frac{a_{11} M_y^\infty}{D_0}, 0, \frac{a_{11} M_x^\infty}{D_0}, 0\right), \quad \Gamma_{jk} = 0 \quad (j \geq 2).$$

С учетом приведенных разложений комплексные потенциалы (1.7) представим в виде

$$W'_k(z_k) = \sum_{j=0} \lambda^j W'_{jk}(z_k), \quad (2.5)$$

где

$$W'_{jk}(z_k) = \Gamma_{jk} z_k + W'_{j0k}(z_k), \quad (2.6)$$

$W'_{j0k}(z_k)$  — функции, голоморфные в многосвязных областях  $S_k$ , ограниченных контурами  $L_{kl}$ , соответствующими контурам  $L_l$  при аффинных преобразованиях (1.6).

Комплексные потенциалы приближений  $W'_{jk}(z_k)$  ( $k = 1, 2$ ) должны удовлетворять соответствующим граничным условиям. Подставляя (2.5) в граничные условия (1.1) и приравнявая в полученных равенствах коэффициенты при одинаковых степенях параметра  $\lambda$ , получаем следующую рекуррентную последовательность граничных условий для определения комплексных потенциалов приближений:

$$2 \operatorname{Re} \sum_{k=1}^2 g_{0kli} W'_{jk}(z_k) = f_{jli}(t) \quad (i = \overline{1, 2}). \quad (2.7)$$

Здесь в случае неподкрепленного контура  $L_l$

$$g_{0kl1} = \frac{p_{0k}}{\mu_k}, \quad g_{0kl2} = \frac{q_{0k}}{\mu_k},$$

$$f_{jl1} = -\delta_j^0 \left( \int_0^y m_l dy + c_l x \right) - 2(1 - \delta_j^0) \operatorname{Re} \sum_{k=1}^2 \sum_{i=0}^{j-1} \frac{p_{j-i,k}}{\mu_k} W'_{ik}(z_k),$$

$$f_{jl2} = -\delta_j^0 \left( \int_0^x m_l dx - c_l y \right) - 2(1 - \delta_j^0) \operatorname{Re} \sum_{k=1}^2 \sum_{i=0}^{j-1} q_{j-i,k} W'_{ik}(z_k).$$

Функции приближений  $W'_{jk}(z_k)$  определяются из граничных условий. Заменяя степени малого параметра  $\lambda^j$  временными операторами, можно найти комплексные потенциалы для плиты и их производные в любой момент времени, а по ним — основные характеристики изгиба:

$$M_x = -2 \operatorname{Re} \sum_{k=1}^2 \sum_{j=0}^J \lambda^j \sum_{i=0}^j p_{j-i,k} W''_{ik}, \quad M_y = -2 \operatorname{Re} \sum_{k=1}^2 \sum_{j=0}^J \lambda^j \sum_{i=0}^j q_{j-i,k} W''_{ik},$$

$$H_{xy} = -2 \operatorname{Re} \sum_{k=1}^2 \sum_{j=0}^J r_k W''_{jk} \lambda^j,$$

$$N_x = -2 \operatorname{Re} \sum_{k=1}^2 \mu_k \sum_{j=0}^J \lambda^j \sum_{i=0}^j s_{j-i,k} W'''_{ik}(z_k), \quad N_y = 2 \operatorname{Re} \sum_{k=1}^2 \sum_{j=0}^J \lambda^j \sum_{i=0}^j s_{j-i,k} W'''_{ik}(z_k)$$

( $J$  — количество сохраняемых приближений). При этом нужно учитывать, что в силу (2.1)

$$\lambda = \nu_{12}^* - \nu_{12}^0,$$

т. е.

$$\nu_{12}^* = \nu_{12}^0 + \lambda. \quad (2.8)$$

Заменяя в (2.8) коэффициент  $\nu_{12}^*$  его временным оператором, получаем [11]

$$\lambda = D_1 \mathcal{E}_\alpha^*(-\beta_1^* - \delta_1^*) + D_2 \mathcal{E}_\alpha^*(-\beta_2^*), \quad (2.9)$$

где

$$D_1 = \frac{\delta_1^*}{4} \left( \frac{E_1^0}{E_2^0} \frac{\delta_2^*}{\beta_1^* - \beta_2^* + \delta_1^*} + 1 - 4\nu_{12}^0 \right), \quad D_2 = \frac{\delta_2^*}{4} \frac{E_1^0}{E_2^0} \frac{\beta_1^* - \beta_2^*}{\beta_1^* - \beta_2^* + \delta_1^*},$$

$E_i^0$  — мгновенно-упругие значения модулей Юнга  $E_i$ ;  $\delta_i^*$ ,  $\beta_i^*$  — реологические постоянные материала плиты. Возводя  $\lambda$  в степень  $j$ , находим

$$\lambda^j = \sum_{k=0}^j C_j^k D_1^{j-k} D_2^k \mathcal{E}_\alpha^{*j-k}(-\beta_1^* - \delta_1^*) \mathcal{E}_\alpha^{*k}(-\beta_2^*) =$$

$$= \sum_{k=0}^j C_j^k D_1^{j-k} D_2^k \frac{\mathcal{E}_\alpha^{*k}(-\beta_2^*) - \mathcal{E}_\alpha^{*j-k}(-\beta_1^* - \delta_1^*)}{-\beta_2^* + \beta_1^* + \delta_1^*}. \quad (2.10)$$

Вычисляя параметр  $\lambda^j$  по формуле (2.10) и подставляя его в выражение (2.5), получаем функции  $W'_k(z_k)$  и их производные, а следовательно, и исследуемые величины в любой момент времени.

**3. Решение задачи для бесконечной плиты с эллиптическими отверстиями.** Рассмотрим бесконечную вязкоупругую плиту с эллиптическими отверстиями  $L_l$

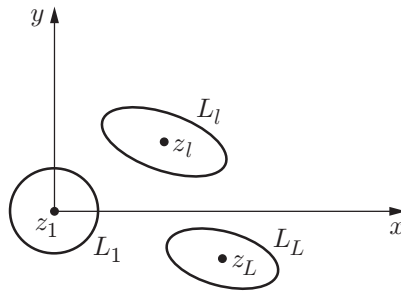


Рис. 1. Схема бесконечной плиты с эллиптическими отверстиями

( $l = \overline{1, L}$ ) (рис. 1) с полуосями длиной  $a_l, b_l$ . Эллипсы могут располагаться произвольно, в том числе касаться, пересекаться, образуя контуры сложной конфигурации. Используя методы конформных отображений и разложений функций в ряды Лорана, для функций (2.6) получаем выражения

$$W'_{j0k}(z_k) = \Gamma_{jk}z_k + \sum_{l=1}^L \sum_{n=1}^{\infty} \varphi_{kln} a_{jkl n}, \tag{3.1}$$

где

$$\varphi_{kln} = \zeta_{kl}^{-n},$$

$\zeta_{kl}$  — переменные, определяемые из конформных отображений [15]

$$z_k = z_{kl} + R_{kl}(\zeta_{kl} + m_{kl}/\zeta_{kl})$$

внешности единичных кругов  $|\zeta_{kl}| \geq 1$  на внешности эллипсов  $L_{kl}$ ,

$$z_{kl} = x_{0l} + \mu_k y_{0l},$$

$$R_{kl} = [a_l(\cos \varphi_l + \mu_k \sin \varphi_l) + ib_l(\sin \varphi_l - \mu_k \cos \varphi_l)]/2,$$

$$m_{kl} = [a_l(\cos \varphi_l + \mu_k \sin \varphi_l) - ib_l(\sin \varphi_l - \mu_k \cos \varphi_l)]/(2R_{kl}),$$

$\varphi_l$  — угол между осью  $Ox$  основной системы и осью  $O_l x_l$ , направленной вдоль полуоси  $a_l$ , локальной системы с началом в центре эллипса  $L_l$ , отсчитываемый от оси  $Ox$  против часовой стрелки;  $x_{0l}, y_{0l}$  — координаты начала системы координат  $O_l x_l y_l$ ;  $a_{kln}$  — постоянные, определяемые из граничных условий на контурах плиты.

Для определения неизвестных постоянных  $a_{jkl n}$  функций (3.1) используем граничные условия (2.7). Для многосвязных областей удобнее использовать эти условия в дифференциальной форме. Продифференцировав их по дуге контура, получаем

$$2 \operatorname{Re} \sum_{k=1}^2 g_{0kli} \frac{dW'_{jk}(z_k)}{ds} = \frac{df_{jli}(t)}{ds} \quad (i = \overline{1, 2}). \tag{3.2}$$

Для удовлетворения граничным условиям (3.2) применим обобщенный метод наименьших квадратов [16]. Для этого на контурах плиты выберем набор точек  $t_{lm}(x_{lm}, y_{lm})$  ( $m = \overline{1, M_l}$ ), в которых удовлетворяются условия (3.2). В результате получаем уравнения

$$2 \operatorname{Re} \sum_{k=1}^2 \sum_{l=1}^L \sum_{n=1}^{\infty} g_{0kli} \delta_k \varphi'_{kln}(t_{klm}) a_{jkl n} = \frac{df_{jli}(t_{lm})}{ds} - 2 \operatorname{Re} \sum_{k=1}^2 g_{0kli} \delta_k \Gamma_{jk} \tag{3.3}$$

$$(i = \overline{1, 2}, \quad m = \overline{1, M_l}, \quad l = \overline{1, L}),$$

где

$$\delta_k = \frac{dz_k}{ds}, \quad \varphi'_{kln} = -\frac{n}{\zeta_{kl}^{n-1} R_{kl} (\zeta_{kl}^2 - m_{kl})}, \quad t_{klm} = x_{lm} + \mu_k y_{lm}.$$

Систему (3.3) дополним уравнениями однозначности прогиба [13] для каждого отверстия

$$2 \operatorname{Re} \sum_{k=1}^2 i a_{jkl1} R_{kl} = 0 \quad (l = \overline{1, L}).$$

**4. Результаты численных исследований.** Проведены численные эксперименты для плит, изготовленных из алюминия [6] и эпоксида [8]. Коэффициенты деформаций и реологические постоянные для этих материалов приведены в табл. 1. Для изотропной плиты из алюминия, которая также рассматривалась как анизотропная, вместо реального значения коэффициента деформации  $a_{22} = 0,1408 \cdot 10^{-4}$  принималось значение  $a_{22} = 0,1458 \cdot 10^{-4}$ . В противном случае вследствие равенства  $a_{11} = a_{22}$  при численном решении задачи имеет место деление на ноль, так как корни характеристического уравнения (1.5) для изотропного материала являются двукратными и равны  $i$  и  $-i$ . Аналогичные допущения приняты для реологических постоянных  $\beta_1^*$ ,  $\beta_2^*$ ,  $\delta_1^*$ ,  $\delta_2^*$ .

При проведении численных исследований количество членов  $N$  в рядах (3.1) и количество точек коллокации  $M_l$  на контурах отверстий  $L_l$  увеличивались до тех пор, пока граничные условия на контурах не удовлетворялись с достаточно высокой степенью точности. В описываемых ниже расчетах в зависимости от расстояния между отверстиями и их количества в рядах для каждого отверстия сохранялось от 5 до 20 членов и на каждом контуре выбиралось от 100 до 200 точек коллокации  $t_{lm}$ . Количество приближений  $j$  по степеням малого параметра  $\lambda$  увеличивалось до тех пор, пока в следующем приближении значения изгибающих моментов не изменялись более чем на 0,01 % по сравнению с предыдущим приближением. Для удовлетворения этому условию в рассмотренных случаях требовалось сохранять степени малого параметра  $\lambda$  от 6 до 9. Ниже приведены некоторые результаты, полученные для плиты с отверстиями, в случае когда на бесконечности  $M_y^\infty = m$ ,  $M_x^\infty = H_{xy}^\infty = 0$ .

В табл. 2 для плиты с одним круговым отверстием радиусом  $a_1$ , контур которого не подкреплен, приведены значения изгибающих моментов  $M_s$ , создаваемых нормальными напряжениями  $\sigma_s$  на площадках, перпендикулярных контуру отверстия, в точках  $A(a_1; 0)$  и  $B(0; a_1)$ , в зависимости от времени  $t$  приложения нагрузки. Из табл. 2 следует, что с течением времени значения моментов в плите изменяются, причем наиболее существенные изменения происходят в течение первых 50 ч после приложения нагрузки, через 200 ч значения моментов практически не изменяются, т. е. в плите устанавливается стационарное состояние. Как показывают расчеты, в других случаях стационарное состояние устанавливается приблизительно в такое же время. Ниже приводятся результаты расчетов для двух случаев:  $t = 0$  (начальный момент времени) и  $t = 500$  (момент, когда стационарное состояние установилось).

На рис. 2 приведена зависимость моментов  $M_s$  вблизи контура отверстия в начальном и стационарном состояниях от центрального угла  $\theta$ , отсчитываемого от положительного направления оси  $Ox$ . Из данных табл. 2 и рис. 2 следует, что при переходе в стационарное состояние значения изгибающих моментов вблизи отверстия изменяются, причем наиболее существенно — в точках  $A$  и  $B$ , соответствующих углам  $\theta = 0$  и  $\theta = \pi/2$ . Так, если плита изготовлена из алюминия, значения  $M_s$  в точке  $A$  увеличиваются на 4,6 %, в точке  $B$  уменьшаются на 35 %, в случае плиты из эпоксида значения  $M_s$  в точке  $A$  увеличиваются на 8,2 %, в точке  $B$  — на 14,7 %.

Таблица 1  
Значения коэффициентов деформаций и реологических постоянных для алюминия и эпоксида

Материал	$a_{11} \cdot 10^4,$ МПа <sup>-1</sup>	$a_{22} \cdot 10^4,$ МПа <sup>-1</sup>	$a_{12} \cdot 10^4,$ МПа <sup>-1</sup>	$a_{66} \cdot 10^4,$ МПа <sup>-1</sup>	$\alpha^*,$ с <sup>-1/2</sup>	$\beta_1^* \cdot 10^3,$ с <sup>-1/2</sup>	$\beta_2^* \cdot 10^3,$ с <sup>-1/2</sup>	$\delta_1^* \cdot 10^3,$ с <sup>-1/2</sup>	$\delta_2^* \cdot 10^3,$ с <sup>-1/2</sup>
Алюминий	0,1408	0,1458	-0,0352	0,3521	0,5000	0,0005	0,000 49	0,006 15	0,006 14
Эпоксид	0,4347	0,6250	-0,0478	3,2467	0,8460	0,1570	0,274 50	0,032 30	0,129 50

Таблица 2  
Значения изгибающих моментов в точках *A* и *B* на контуре отверстия

Материал	Точка	$M_s$								
		$t = 0$	$t = 50$ ч	$t = 100$ ч	$t = 150$ ч	$t = 200$ ч	$t = 300$ ч	$t = 400$ ч	$t = 500$ ч	$t = 600$ ч
Алюминий	<i>A</i>	1,769	1,841	1,847	1,849	1,850	1,851	1,851	1,851	1,851
	<i>B</i>	0,231	0,159	0,153	0,151	0,150	0,149	0,149	0,149	0,149
Эпоксид	<i>A</i>	1,934	2,070	2,077	2,081	2,084	2,088	2,091	2,093	2,094
	<i>B</i>	0,687	0,769	0,775	0,778	0,781	0,784	0,786	0,788	0,790

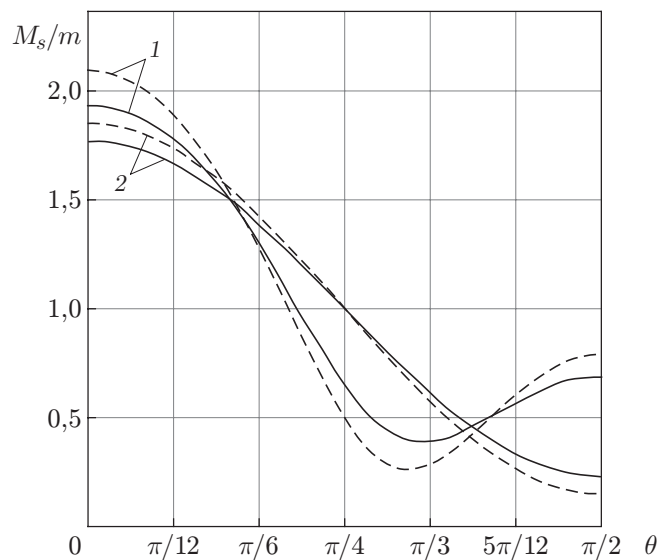
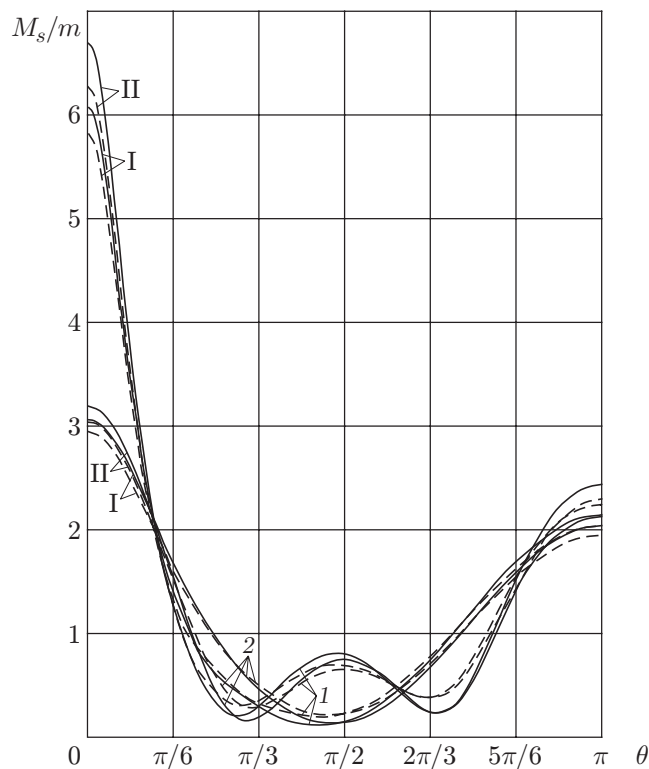


Рис. 2. Зависимость изгибающего момента вблизи контура отверстия от угла  $\theta$ : сплошные линии — начальное состояние, штриховые — стационарное состояние; 1 — алюминий, 2 — эпоксид

Таблица 3

Зависимость изгибающих моментов вблизи левого отверстия от центрального угла  $\theta$ 

Материал	$c/a_1$	$t$ , ч	$M_s$						
			$\theta = 0$	$\theta = \pi/6$	$\theta = \pi/3$	$\theta = \pi/2$	$\theta = 2\pi/3$	$\theta = 5\pi/6$	$\theta = \pi$
Алюминий	3,0	0	1,896	1,447	0,606	0,221	0,635	1,428	1,822
	3,0	500	1,981	1,493	0,570	0,142	0,596	1,471	1,906
	2,0	0	2,002	1,484	0,594	0,219	0,648	1,450	1,846
	2,0	500	2,089	1,534	0,560	0,141	0,610	1,495	1,932
	1,0	0	2,340	1,560	0,554	0,219	0,680	1,496	1,896
	1,0	500	2,436	1,620	0,524	0,141	0,643	1,543	1,984
	0,5	0	2,946	1,605	0,493	0,223	0,717	1,544	1,947
	0,5	500	3,060	1,679	0,460	0,144	0,682	1,595	2,040
	0,1	0	5,820	1,305	0,327	0,234	0,786	1,632	2,040
	0,1	500	6,077	1,384	0,279	0,151	0,756	1,692	2,143
Эпоксид	3,0	0	2,010	1,342	0,340	0,645	0,373	1,332	1,977
	3,0	500	2,154	1,317	0,222	0,734	0,262	1,306	2,135
	2,0	0	2,083	1,373	0,315	0,635	0,371	1,352	2,002
	2,0	500	2,216	1,351	0,193	0,721	0,256	1,325	2,160
	1,0	0	2,378	1,455	0,288	0,637	0,373	1,397	2,058
	1,0	500	2,498	1,445	0,166	0,724	0,250	1,370	2,222
	0,5	0	3,039	1,512	0,297	0,656	0,378	1,449	2,121
	0,5	500	3,190	1,517	0,189	0,747	0,245	1,424	2,294
	0,1	0	6,266	1,237	0,357	0,697	0,385	1,547	2,241
	0,1	500	6,691	1,264	0,304	0,797	0,231	1,532	2,435

Рис. 3. Зависимость изгибающего момента вблизи левого отверстия от угла  $\theta$  при различных значениях  $c/a_1$ :I — алюминий, II — эпоксид; 1 —  $c/a_1 = 0,1$ , 2 —  $c/a_1 = 0,5$

Заметим, что для изотропного материала полученные результаты согласуются с приведенными в работе [7].

В табл. 3 для плиты с двумя одинаковыми круговыми отверстиями радиусом  $a_1$  приведены значения изгибающих моментов  $M_s$  вблизи левого отверстия в зависимости от центрального угла  $\theta$  при различных значениях  $c/a_1$  ( $c$  — расстояние между отверстиями). На рис. 3 представлены распределения этих моментов при различных значениях  $c/a_1$ .

Из табл. 3, рис. 3 и других полученных результатов следует, что с уменьшением расстояния между отверстиями значения изгибающих моментов в области между отверстиями увеличиваются при упругом деформировании, а при переходе в стационарное состояние они увеличиваются существенно.

## ЛИТЕРАТУРА

1. **Арутюнян Н. Х.** Некоторые вопросы теории ползучести. М.: Гостехтеоретиздат, 1952.
2. **Колтунов М. А.** Ползучесть и релаксация. М.: Высш. шк., 1976.
3. **Кристенсен Р.** Введение в теорию вязкоупругости. М.: Мир, 1974.
4. **Работнов Ю. Н.** Ползучесть элементов конструкций. М.: Наука, 1966.
5. **Розовский М. И.** Механика упругонаследственных сред // Упругость и пластичность. М.: Всесоюз. ин-т науч. и техн. информации, 1965. С. 95–103.
6. **Савин Г. Н.** Распределение напряжений около отверстий. Киев: Наук. думка, 1968.
7. **Volterra V.** Lecons sur the les fonctions de lignes. P.: Qauthier Villaed, 1913.
8. **Каминский А. А.** Механика разрушения вязкоупругих тел. Киев: Наук. думка, 1980.
9. **Калоеров С. А., Мироненко А. Б.** Исследование вязкоупругого состояния пластинки с упругими эллиптическими или линейными включениями // Прикл. механика. 2007. Т. 43, № 2. С. 88–98.
10. **Калоеров С. А., Шипоша Ю. С.** Вязкоупругий изгиб многосвязных изотропных плит // Вісн. Донец. ун-ту. Сер. А. Природ. науки. 2007. Вип. 2. С. 58–65.
11. **Калоеров С. А., Паршикова О. А.** Решение задачи термовязкоупругости для анизотропной пластинки // Теорет. и прикл. механика. 2011. № 2. С. 51–70.
12. **Калоеров С. А., Самодуров А. А.** Задача электромагнитовязкоупругости для многосвязных пластинок // Прикл. механика. 2015. Т. 51, № 6. С. 23–41.
13. **Калоеров С. А.** Комплексные потенциалы теории изгиба многосвязных анизотропных плит // Теорет. и прикл. механика. 2012. № 4. С. 113–132.
14. **Лехницкий С. Г.** Анизотропные пластинки. М.: Гостехтеоретиздат, 1957.
15. **Калоеров С. А., Горянская Е. С.** Двумерное напряженно-деформированное состояние многосвязного анизотропного тела // Механика композитов: В 12 т. Т. 7. Концентрация напряжений. Киев: А. С. К., 1998. С. 10–26.
16. **Форсайт Дж.** Машинные методы математических вычислений / Дж. Форсайт, М. Малькольм, К. Моулер. М.: Мир, 1980.

*Поступила в редакцию 19/XI 2015 г.,  
в окончательном варианте — 18/IV 2016 г.*